Synthese einiger isomerer Triepoxide des 1,3,5-Hexatriens aus Hexitolen

Peter Köll*a, Jürgen Kopfb, Jürgen O. Metzgera, Walter Schwartinga und Michael Oeltinga

Fachbereich Chemie der Universität Oldenburg^a, Organische Chemie, Carl-von-Ossietzky-Straße 9-11, D-2900 Oldenburg
Institut für Anorganische und Angewandte Chemie der Universität Hamburg^b, Martin-Luther-King-Platz 6, D-2000 Hamburg 13

Eingegangen am 3. September 1986

Durch Payne-Oxidation wurden aus den bekannten (E)-1,2: 5,6-Dianhydro-hex-3-enitolen 4 und 10 mit erythro- bzw. p-threo-Konfiguration die "konjugierten" Triepoxide 5 bzw. 11 und 12 mit DL-gluco- bzw. p-ido- und p-manno-Konfiguration dargestellt. Auch die entsprechende dreifache Epoxidierung von 1,3,5-Hexatrien (15) wurde untersucht, lieferte jedoch, abgesehen von der Isolierung des meso-galacto-Triepoxides 17, wenig befriedigende Ergebnisse. Die Konfiguration von 11 und damit indirekt auch von 12 konnte durch Röntgenstrukturanalyse bestätigt werden. 11 nimmt im Kristall eine halbmondförmige Konformation ein, bei der die benachbarten Sauerstoffatome annähernd gauche zueinander orientiert sind. Die CI-Massenspektren der dargestellten Triepoxide werden vergleichend unter Berücksichtigung stereochemischer Aspekte interpretiert.

Epoxide (Oxirane) sind einer Fülle nucleophiler Substitutionsreaktionen zugänglich und sind daher in der Kohlenhydratchemie von breitem präparativen Interesse¹⁾. So wurden auch in der Reihe der Zuckeralkohole eine Vielzahl derartiger Epoxide beschrieben, wobei Alditoldiepoxide besonders bemerkenswert sind, da bei einigen derartigen Verbindungen eine nicht unerhebliche cytotoxische Aktivität festgestellt wurde²⁾. Bereits 1946 berichtete Wiggins³⁾ über die Darstellung des 1,2:5,6-Dianhydro-3,4-O-isopropyliden-D-mannitols. Analoge Verbindungen mit L-ido- und D-gluco-Konfiguration wurden 13 Jahre später beschrieben⁴⁾. Schutzgruppenfrei wurden diese Diepoxyhexitole 1968 synthetisiert⁵⁾.

Auch Diepoxide mit "benachbarten" Oxiranringen sind als isomere 1,2:3,4-Diepoxybutane (1,2:3,4-Dianhydro-DL-threitol bzw. -meso-erythritol) lange bekannt⁶. Diese Verbindungen sind Homologe des Ethylenoxids und es schien uns interessant, diese Reihe durch die Synthese von Triepoxyhexanen (1,2:3,4:5,6-Trianhydrohexitolen) zu erweitern⁷. Nachfolgend beschreiben wir von den denkbaren zehn Isomeren (vier Enantiomerenpaare, zwei meso-Verbindungen) diejenigen mit D-ido-, D-manno-, DL-gluco- und wahrscheinlich meso-galacto-Konfiguration. Hierbei gingen wir entweder vom 1,3,5-Hexatrien oder, mit mehr Erfolg, von D-Glucitol und D-Mannitol aus.

Darstellung von DL-5, 11, 12 und 17

D-Glucitol läßt sich entsprechend den Angaben von Kuszmann und Sohár⁸⁾ über das Dimesylat 1 und das (E)-Olefin 2 in insgesamt sieben Schritten zum (E)-1,2:5,6-Dianhydro-3,4-didesoxy-erythro-hex-3-enitol (4) umsetzen. Neben 2 konnten wir bei der Tipson-Cohen-Eliminierung aus 1 auch das (Z)-Olefin 3 erstmals isolieren. Die erhaltenen geringen

Synthesis of Some Isomeric Triepoxides of 1,3,5-Hexatriene from Hexitols

Payne oxidation of the known (E)-1,2:5,6-dianhydro-hex-3-enitols 4 and 10 with erythro and D-threo configuration yielded the "conjugated" triepoxides 5 and 11, 12, respectively, comprising Dt-gluco, D-ido and D-manno configurations. Analogous triple epoxidation of 1,3,5-hexatriene (15) was also studied but gave, despite the isolation of the meso-galacto-triepoxide 17, unsatisfactory results only. The stereochemistry of 11 was proved by X-ray structural analysis thus indirectly also confirming the configuration of 12. Compound 11 adopts in the crystal a crescent-shaped conformation with almost gauche arrangement of neighbouring oxygen atoms. CI-mass spectra of the prepared epoxides are interpreted with respect to each other, considering stereochemical aspects.

Mengen reichten jedoch nicht aus, um auch das (Z)-Isomere von 4 zu erhalten, so daß Epoxidierungsversuche lediglich an diesem vorgenommen werden konnten.

Während *m*-Chlorperbenzoesäure das ungesättigte Diepoxid 4 unspezifisch zersetzt, gelingt unter den milden Bedingungen der Payne-Oxidation⁹⁾ (H₂O₂, Acetonitril, KHCO₃, Methanol) die gewünschte Epoxidierung der Doppelbindung. Der Angriff des Oxidationsmittels ist erwartungsgemäß nicht enantioselektiv und liefert mit insgesamt 60proz. Ausbeute racemisches 1,2:3,4:5,6-Trianhydro-DLglucitol (5). Die entsprechende Reaktion mit dem Diisopropylidenolefin 2 ergibt 56% 3,4-Anhydro-1,2:5,6-di-O-isopropyliden-DL-glucitol (6).

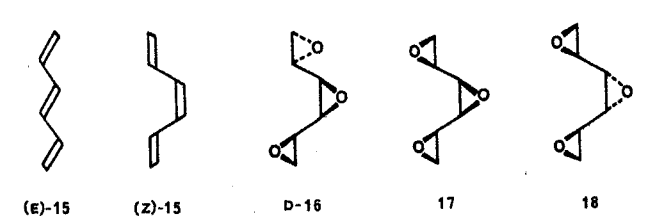
Analog vorgenannter Reaktionssequenz ist aus D-Mannitol über ein 1 entsprechendes Dimesylat 7 das (E)-Olefin 8 und daraus in weiteren Schritten das (E)-1,2:5,6-Dianhydro-3,4-didesoxy-D-threo-hex-3-enitol (10) darstellbar⁸⁾. Auch hier konnten wir zusätzlich erstmals das (Z)-Olefin 9 isolieren, wobei aber auch in diesem Fall die erhaltenen Mengen nicht ausreichten, um zum (Z)-Isomeren von 10 zu gelangen.

Die Payne-Oxidation⁹⁾ von 10 bereitet ebenfalls keine Schwierigkeiten. Entsprechend den sterischen Gegebenheiten von 10 erfolgt der Angriff des Oxidationsmittels auf die beiden Seiten der Doppelbindung mit unterschiedlicher Geschwindigkeit, so daß die Triepoxide 11 und 12 nicht im gleichen Verhältnis erhalten werden. Das D-ido-Isomere 11 kann mit 59proz. Ausbeute, hingegen das D-manno-Isomere 12 mit lediglich 22proz. Ausbeute isoliert werden. Dabei ist diese Selektivität nicht auf sterische Hinderung zurückzu-

führen, denn dann sollte überwiegend 12 entstehen. Der Grund für die beobachtete Selektivität ist wohl darin zu suchen, daß das eigentliche Oxidationsmittel, nämlich das Iminoperacetat⁹¹, von den vorhandenen Epoxidringen komplexiert wird und auf diese Weise dann die Bildung von 11 bevorzugt ist. — Die Stereochemie von 11, und damit indirekt auch von 12, wurde auch durch eine Röntgenstrukturanalyse bewiesen (s. unten).

Auch die Epoxidierung von 8 liefert in annähernd gleichem Verhältnis die entsprechenden D-ido- bzw. D-manno-konfigurierten Produkte 13 und 14.

Einen sehr direkten Zugang zu den Titelverbindungen würde die dreifache Epoxidierung des 1,3,5-Hexatriens (15) eröffnen. Hierbei sollten alle Diastereomeren erhalten werden können (die Enantiomerenpaare natürlich nur als Racemate), da handelsübliches Hexatrien 15 neben ca. 70% des (E)- auch 30% des (Z)-Isomeren enthält. So sollten neben rac-5, rac-10 und rac-11 auch das altro-Isomere rac-16 und die meso-Verbindungen 17 und 18 mit galacto- bzw. allo-Konfiguration gebildet werden. Tatsächlich werden wohl auch alle genannten Isomeren bei der Payne-Oxidation99 von 15 gebildet, allerdings in einer wenig befriedigenden Gesamtausbeute von nur 15%, wobei zudem extrem große Mengen des Oxidationsmittels eingesetzt werden mußten. Auch die präparative chromatographische Trennung dieses Reaktionsgemisches gelang nur zum Teil. In reiner Form konnten neben 4% rac-5 noch 2% des 1,2:3,4:5,6-Trianhydro-meso-galactitols (17) gewonnen werden. Die Konfigurationszuordnung von 17 wurde aufgrund seines dem Derivat 11 ähnlichen chromatographischen Verhaltens getroffen. Lediglich diese beiden Isomeren können eine Konformation einnehmen, in der die Dipolmomente aller C-O-Bindungen in eine Richtung weisen. Diese Zuordnung muß also als vorläufig betrachtet werden.



Mit der Triepoxidstruktur der dargestellten Verbindungen 5, 11, 12 und 17 sind die erhaltenen analytischen Daten, insbesondere auch die ¹³C-NMR-Spektren (vgl. Exp. Teil), vereinbar. Besonders untersucht haben wir darüber hinaus neben den EI-Massenspektren (vgl. Exp. Teil) auch die CI-Massenspektren, wobei Isobutan als Reaktandgas benutzt wurde. Diese Messungen wurden bei 170-250°C durchgeführt. Die so erhaltenen Spektren sind vom äußeren Erscheinungsbild erwartungsgemäß sehr ähnlich. Neben den beiden Ouasimoklekül-Ionen M · H + und M · C₄H₉ + werden eine Reihe von Fragmentierungen beobachtet, wie die Abspaltung von H2O, CH2O und andere aus dem MH+-Ion (Tab. 1). Bemerkenswert ist die hohe temperaturabhängige Intensität der Quasimolekül-Ionen, deren Anteil am Gesamtionenstrom stereochemisch relevant ist. Die Intensität der Quasimolekül-Ionen sinkt über den ganzen gemessenen Temperaturbereich entsprechend der Reihe 11 > 17 > 5 > 12. Diese Reihe ist gut verständlich, denn die Quasimolekül-Ionen von 11 können aufgrund der Stereochemie (s. unten) durch Wasserstoffbrücken oder kontrollierte Protonenverteilung optimal stabilisiert werden. Entsprechende Überlegungen gelten auch für das Quasimolekül-Ion $M \cdot C_4H_9^+$.

Diese optimale Stabilisierung ist auch bei 17 möglich. Da aber 17 als "cis"-Isomeres im Vergleich zu 11 einen höheren Energieinhalt besitzt, ist die Aktivierungsenergie für die Fragmentierung geringer und damit der Anteil an Fragment-Ionen am Gesamtionenstrom größer als bei 11. Im Gegensatz dazu ist beim Isomeren 12 in der energetisch günstigsten Konformation keine Brückenbindung möglich. Dementsprechend ist die Intensität der Quasimolekül-Ionen für 12 am niedrigsten. In 5 ist eine Brücke zur Stabilisierung möglich und daher liegt auch die Intensität der Quasimolekül-Ionen deutlich höher als bei 12, aber auch deutlich niedriger als bei 11 und 17. Anwendung dieses Konzepts auf die beiden bisher noch nicht isolierten Isomeren 16 und 18 läßt erwarten, daß der Anteil der Quasimolekül-Ionen am Gesamtionenstrom für 16 geringer ist als bei 5 und für 18 noch niedriger sein sollte als bei 12.

Um die chemische Reaktivität der dargestellten Triepoxide zu untersuchen, haben wir 11 mit Natriumiodid nach Jarman und Ross⁵⁾ umgesetzt und mit 68proz. Ausbeute das kristalline 3,4-Anhydro-1,6-didesoxy-1,6-diiod-D-iditol· er-

Tab. 1. CI-Massenspektren der Triepoxide 5, 11, 12 und 17 mit Reaktandgas Isobutan; von den acht intensivsten Peaks ist jeweils die
Ionenintensität in % der Summe der Ionenintensitäten oberhalb 60 amu angegeben

Verbindungen	5		11			12			17			
Meßtemperaturen [°C]	170	200	250	170	200	250	170	200	250	170	200	250
m/z 185 (M · C ₄ H ₉ ⁺)	7.9	4.7	0.7	11.0	5.5	1.5	10.0	2.4	0.7	9.5	5.4	0.8
129 (M · H ⁺)	22.1	19.1	16.3	34.8	30.3	24.8	8.2	7.4	7.6	31.8	33.1	22.2
111	8.6	6.7	4.8	6.8	5.4	3.2	8.2	4.7	4.1	7.9	6.3	4.3
99	6.6	6.5	6.5	4.0	4.0	4.0	4.8	3.3	5.0	4.3	4.6	4.5
85	6.0	6.4	5.0	4.1	4.3	4.2	8.6	5.0	4.7	4.0	4.1	4.1
83	11.0	12.2	13.1	8.5	10.3	10.1	9.7	5.6	9.3	9.8	9.8	12.2
71	4.0	5.5	8.3	3.4	5.3	8.6	3.5	2.5	4.5	3.2	4.4	7.5
69	11.7	14.3	21.0	9.2	12.3	18.6	9.7	8.5	17.5	8.9	11.5	22.2

halten. Mit Aceton bildet 11 unter Schwefelsäurekatalyse das 3,4-Anhydro-1,2: 5,6-di-O-isopropyliden-D-iditol (13); die *gluco*- und *manno*-Isomeren 5 und 12 verhalten sich analog und führen zu den entsprechenden Di-O-isopropylidenanhydriden 6 und 14. Allerdings sind die Ausbeuten jeweils recht niedrig, da auch Sulfate gebildet werden und unübersichtliche Folgereaktionen auftreten.

Aus diesen Reaktionen kann geschlossen werden, daß die terminalen Epoxidringe deutlich reaktiver sind als der jeweils mittelständige Epoxidring und daß Nucleophile bei entsprechenden Reaktionen bevorzugt die C-Atome C-1 und C-6 angreifen.

Die Triepoxide 11, 12 und 17 wurden auf cytotoxische Aktivität an L1210-Leukämiezellen getestet. Sie zeigten im Vergleich mit Adriamycin lediglich geringe, aber noch erkennbare Aktivität ¹⁰.

Molekülstruktur des 1,2:3,4:5,6-Trianhydro-D-iditols (11)

Obwohl die in den ¹H- und ¹³C-NMR-Spektren von 11 beobachtete Symmetrie (vgl. Exp. Teil) eine Unterscheidung zwischen den isomeren Triepoxiden 11 und 12 möglich machte, wurde zusätzlich an den besonders geeigneten Kristallen von 11 eine Röntgenstrukturanalyse vorgenommen. Hierbei wurden weitere Kenntnisse zur Geometrie von Oxiranringen gewonnen.

Die kristallographischen Daten von 11 sind in Tab. 2 zusammengefaßt. Die Struktur wurde mittels direkter Methoden unter Verwendung der Programmsysteme MULTAN¹¹⁾ und SHELX- 76^{12} gelöst¹³⁾. Der erreichte R-Wert der Endverfeinerung betrug 0.050 und gewichtet 0.027 für 912 Reflexe. Tab. 3 zeigt die erhaltenen Atomparameter einschließlich Temperaturfaktoren, während sich in Tab. 4 Bindungslängen und Bindungswinkel finden. Die SCHAKAL-Darstellung¹⁴⁾ von 11 in Abb. 1, aus der auch die Bezifferung der Atome hervorgeht, gibt die Geometrie eines Moleküls im Kristall wieder. 11 zeigt nicht die erwartete C_2 -Symmetrie, sondern weist entsprechend der beobachteten orthorhombischen Raumgruppe $P2_12_12_1$ geringfügig abweichende Bindungsverhältnisse in den beiden Molekülhälften auf.

Die beiden äußeren Oxiranringe in 11 sind im Rahmen der Fehlergrenzen nahezu gleichseitige Dreiecke. Mit den gemittelten Bindungslängen für die C-C-Bindungen von 143.7 pm und für die C-O-Bindungen von 143.1 pm ent-

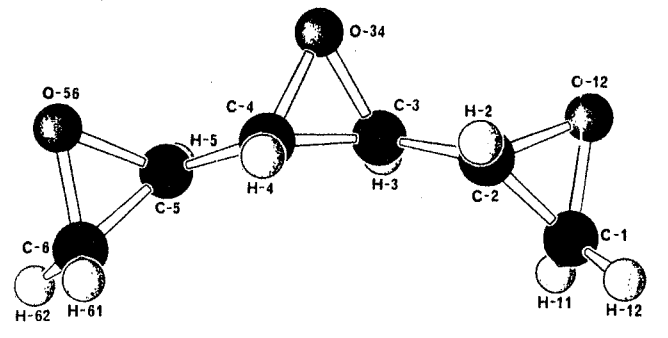


Abb. 1. SCHAKAL-Darstellung¹⁴⁾ und Bezisserung der Atome von 1,2: 3,4: 5,6-Trianhydro-D-iditol (11)

Tab. 2. Kristallographische Daten für 1,2:3,4:5,6-Trianhydro-Diditol (11) a)

Summenformel:	$C_6H_8O_3$
Molmasse:	128.13
Schmp. (aus Ether/Hexan):	51 - 52°C
$[\alpha]_D^{20}$ (c = 1.0 in CHCl ₃):	-49.3
Kristallsystem:	Orthorhombisch
Raumgruppe:	$P2_12_12_1$
Elementarzelleninhalt Z:	4
Gitterkonstanten:	a = 460.5(4) pm
	b = 909.4(7) pm
	c = 1534.8(9) pm
Zellvolumen V:	$642.74(84) \times 10^6 \text{ pm}^3$
F (000)	272
Dichte D _x	$1.324 \text{ g} \times \text{cm}^{-3}$

^{a)} Die Röntgenstrukturanalyse wurde mit einem Diffraktometer Syntex P2₁ (Mo- K_x -Strahlung, $\lambda=70.9261$ pm, $\mu=0.999$ cm⁻¹) durchgeführt. Es wurden 1373 Reflexe gemessen (2 $\Theta=4.5-65^\circ$; h=0-6, k=0-13, l=0-23). Hiervon wurden wegen Sekundärextinktion die Reflexe 110, 101, 111, 112 eliminiert, sowie alle Reflexe unter $I>3\sigma(I)$ vernachlässigt. Es blieben 912 Reflexe für die Verfeinerung. Die Zahl der verfeinerten Parameter betrug 114. Maximale Restelektronendichte 0.21 e/pm × 10^{-6} . Die Strukturbestimmung konvergierte bei R=0.050 und $R_w=0.027$.

spricht die Geometrie dieser beiden Epoxidringe derjenigen, die kürzlich in der Stammverbindung, dem Ethylenoxid, gemessen wurde ¹⁵. Entsprechend stimmen auch die endocyclischen Bindungswinkel überein, wobei sogar eine leichte Asymmetrie gleichermaßen gefunden wird. Demgegenüber ist der mittlere Oxiranring in 11 aufgeweitet. Der C-C-Abstand beträgt 145.2 pm und der mittlere C-O-Abstand 144.0 pm. Dieser Ring gleicht also mehr der üblicherweise

gefundenen Oxirangeometrie¹⁵⁾, wenn auch der C-C-Abstand immer noch sehr kurz ist. So beträgt dieser im vergleichsweise besonders interessierenden 1,2:5,6-Dianhydrogalactitol, für das ebenfalls eine Röntgenstrukturanalyse vorliegt 16, 146.0 pm bzw. 145.5 (Mittelwert) in dessen Dimorph. Interessant ist in diesem Zusammenhang eine Betrachtung der Bindungsabstände der die Epoxidringe verbindenden C-Atome. Dieser beträgt in 11 im Mittel 147.8 pm und stimmt mit dem Bindungsabstand sp²-sp²-hybridisierter C-Atome überein. So wurde für die mittlere Bindung des 1,3-Butadiens ein Bindungsabstand von 148 pm ermittelt. Insofern gleicht das Triepoxid 11 einem konjugierten Di- bzw. Trien, so daß es sicherlich angemessen ist, die dargestellten Triepoxide als "konjugierte" Epoxide zu bezeichnen. In diesem Zusammenhang sei auf eine entsprechende Diskussion der Eigenschaften von Cyclopropanderivaten hingewiesen 17). Bei cyclischen Analoga von 11 ("Benzoltrioxiden") wurden etwas andere Verhältnisse gefunden. Zieht man zum Vergleich die Kristallstrukturanalyse von cis-"Benzoltrioxid" heran¹⁸⁾, so beträgt der Abstand unverbrückter C-Atome in dieser Verbindung im Mittel 148.7 pm und auch die Abstände der C-Atome in den Epoxidringen sind mit durchschnittlich 147.1 pm extrem größer als in 11. Die Erhöhung dieser Werte und deren Angleichung ist jedoch nur ein weiterer Hinweis auf die Verwandtschaft zwischen konjugierten Olefinen oder Aromaten und deren Epoxiden.

Tab. 3. Atomparameter von 1,2:3,4:5,6-Trianhydro-D-iditol (11) [C- und O-Atome mit anisotropen Temperaturfaktoren (× 10⁴); H-Atome mit isotropen Temperaturfaktoren (× 10³); Standardabweichungen in Klammern]

Atom	X	Y	Z	U ₁₁	U ₂₂	U ₃₃	U ₂₃	U ₁₃	U ₁₂
0-12	8767(3)	-1051(1)	5698(1)	726(9)	795(9)	741(9)	170(8)	-42(8)	147(9)
0-34	11438(3)	1133(1)	4166(1)	542(8)	730(2)	800(8)	9(7)	-8(8)	10(8)
0-56	9510(3)	3213(2)	2543(1)	815(11)	775(10)	882 (11)	232(9)	117(9)	-30(9)
C-1	5751(5)	-864(3)	5500(2)	684(16)	788(15)	741 (14)	70(13)	27(13	-4(14)
C-2	7823(5)	220(2)	5221(1)	624(12)	533(10)	571(10)	-41(9)	-44(10)	54(11)
C-3	8780(5)	326(2)	4306(1)	605(11)	509(10)	598(10)	-92(9)	-20 (1,2)	-5(11)
Ç-4	8733(4)	1741(2)	3868(1)	559(11)	521(10)	628(10)	-73(9)	8(10)	16(11)
C-5	8392(5)	1883(2)	2913(1)	752(14)	609(11)	594(10)	-38(10)	94(12)	4(14)
C-6	6456 (6)	2954(3)	2545(2)	809(16)	1035(18)	636(15)	22(15)	-2(16)	120(18)
H~11	508(4)	-156(2)	510(1)	82(7)					
H-12	453(5)	-67(2)	600(1)	89(8)					
H-2	793 (4)	116(2)	553(1)	59(5)					
H-3	862(4)	-53(2)	397(1)	58(5)					
H-4	807(4)	259(2)	421(1)	54(4)					
H-5	888(4)	105(2)	259(1)	77 (6)					
H~61	552(5)	364(2)	293(1)	84(7)					
H-62	577(5)	281(2)	195(1)	94(7)					

Betrachtet man die Gesamtgeometrie von 11 (vgl. Abb. 1), so kann festgestellt werden, daß dessen Moleküle weder eine üblicherweise bei Alditolen gefundene "Zick-Zack"-, noch eine "Sichel"-Konformation¹⁹⁾ einnehmen. Wählt man die genannten Termini, wäre allenfalls die Bezeichnung "Dop-

Tab. 4. Bindungslängen und -winkel [pm bzw. Grad] in 1,2:3,4:5,6-Trianhydro-p-iditol (11); Standardabweichungen in Klammern

		• • • •			
A 8indungslänge	en:	***************************************			
0-12C-1 143.	1(3)	C-1C-2	143.7(3)	C-4C-5	148.0(2)
0-12C-2 143.	5(2)	C-1H-11	93.5(17)	C-4H-4	97.7(14)
0-34C-3 144.	3(3)	C-1H-12	96.1(20)	C-5C-6	143.6(4)
0-34C-4 143.	8(2)	C-2C-3	147.5(2)	C-5H-5	93.3(17)
0-56C-5 143.	2(3)	C-2H-2	98.1(15)	C-6H-61	96.4(20)
0-56C-6 142.	6(3)	C-3C-4	145.2(3)	C-6H-62	96.9(19)
		C-3A-3	94.0(14)		
8 Bindungswinke	1:				
C-10-12C-2	60.2	2(1)	0-34-	-C-4C-3	59.9(1)
C-30-34C-4	60.5	(1)	C-3 -	-C-4H-4	117.0(8)
C-50-56C-6	60.3	3(1)	C-3 -	-C-4C-5	122.5(2)
0-12C-1H-12	114.9	(13)	0-34-	-C-4H-4	113.8(9)
0-12C-1H-11	112.4	(12)	0-34-	-C-4C-5	116.2(2)
0-12C-1C <i>-</i> 2	60.0	(1)	C-5	C-4H-4	115,2(8)
H-11C-1H-12	116.8	3(17)	0-56-	-C-5C-4	115.4(2)
C-2C-1H-12	119.8	3(12)	C-4	C-5H-5	115.6(10)
C-2C-1H-11	119.2	(12)	C-4	C-5C-6	121.0(2)
0-12C-2C-1	59.8	3(1)	0-56-	-C-5H-5	112.8(11)
C-1C-2H-2	118.9	(10)	0-56-	-C-5C-6	59.6(1)
C-1C-2C-3	121.8	(2)	C-6	C-5H-5	119,3(11)
0-12C-2H-2	115.9	(8)	0-56-	-C-6C-5	60.0(1)
0-12C-2C-3	116.6	(2)	C-5	C-6H-62	118.8(12)
C-3C-2H-2	113.3	(9)	C-5	C-6H-61	118.2(12)
0-34C-3C-2	115.3	(2)	0-56-	-C-6H-61	110.0(13)
С-2С-3н-3	116.8	(9)	0-56-	-C-6H-61	109.8(13)
C-2C-3C-4	119.6	(2)	H-61-	-C-6H-62	121.2(18)
0-34C-3H-3	114.0	(11)			
0-34C-3C-4	59.6	(1)			
C-4C-3H-3	118.3	(9)			

pel-Sichel" zur Konformationsbeschreibung zu wählen, die aber wegen der fehlenden deutlichen gauche-Beziehung zwischen den benachbarten C-Atomen unangemessen wäre. Statt dessen werden lediglich, allerdings auch nicht ideale, gauche-Stellungen benachbarter Sauerstoffatome festgestellt (Torsionswinkel: O-12/C-2/C-3/O-34: -92.6°; O-34/C-4/C-5/O-56: -86.5°). Wir schlagen daher zur Beschreibung der Geometrie von 11 und vergleichbarer Verbindungen den Begriff "Halbmond"-Konformation ("Crescent conformation") vor.

Wir danken den Mitarbeitern des Rechenzentrums der Universität Hamburg für kristallographische Rechnungen sowie Frau M. Rundshagen und Herrn D. Neemeyer für analytische Arbeiten.

Experimenteller Teil

Die angegebenen Schmelzpunkte wurden auf einem Mikroskopheiztisch (Leitz Laborlux 12) bestimmt und sind nicht korrigiert. — Drehwerte wurden in einer 10-cm-Küvette mit einem Perkin-Elmer-Polarimeter Modell 241 MC bestimmt. — NMR-Spektren: Bruker WP 80 (80 MHz für ¹H und 20.1 MHz für ¹³C) sowie WM 400 (400 MHz für ¹H). — Massenspektren: Finnigan-MAT 212 mit Datensystem SS 300 [Elektronenstoßionisation (EI) bei 70 eV]. Bei CI-Messungen wurde die Probe mit der DCI-Schubstange direkt in die CI-Box eingeführt. Der Isobutan-Druck betrug 0.1 mbar, Emmission 0.1 mA, Elektronenenergie 200 eV. Es wurde von 40 bis 400 amu mit 5.1 s/Decade gemessen. Es wurden jeweils etwa 10 Einzelspektren der positiven Ionen gemittelt, wobei der Gesamtionenstrom ab m/z = 60 festgelegt wurde. Die Temperatur wurde an der CI-Box gemessen. — Alle Reaktionen wurden dünn-

schichtchromatographisch an Kieselgel (Merck) verfolgt. Lösungen wurden in der Regel bei Badtemperaturen um 30°C i. Vak. eingeengt.

(E)-3,4-Dideoxy-1,2:5,6-di-O-isopropyliden-erythro-hex-3-enitol (2) und (Z)-3,4-Dideoxy-1,2:5,6-di-O-isopropyliden-erythro-hex-3-enitol (3): 62.0 g (0.148 mol) 1^{20} , 115.0 g NaI und 40.0 g Zinkstaub wurden 7.5 h in 600 ml absol. DMF unter Rühren zum Sieden erhitzt. Nach dem Abkühlen wurden die basischen Zinksalze abfiltriert und mit warmem Ligroin gewaschen. Das Filtrat wurde ebenfalls mit Ligroin gründlich extrahiert. Die vereinigten Ligroinextrakte wurden i. Vak. eingeengt, und der Rückstand wurde aus Methanol/Wasser kristallisiert; Ausb. 17.8 g (53%) 2 als hellgelbe Nadeln, Schmp. $69-71^{\circ}$ C, $[\alpha]_D^{20} = -0.1$ (c = 1.3 in CHCl₃) \langle Lit. (8): Schmp. $72-73^{\circ}$ C; $[\alpha]_D^{20} = 0$ (CHCl₃).

Die Mutterlauge wurde i. Vak. eingeengt und der Rückstand an einer Säule (Kieselgel 60, Laufmittel: Ether/Toluol/Hexan 3:2:1) chromatographiert.

1. Fraktion ($R_1 = 0.64$): 50 mg (0.2%) sirupöses 3; $[\alpha]_0^{20} = +0.2$ (c = 0.3 in CHCl₃). - ¹H NMR (80 MHz in CDCl₃): $\delta = 4.15$ (dd, 1-H, 6-H), 3.58 (dd, 1'-H, 6'-H), 4.87 (m, 2-H, 5-H), 5.65 (dd, 3-H, 4-H), 1.41 (s) und 1.43 (s) (Isopropyliden); $J_{1,1'} = J_{6,6'} = 8.6$, $J_{1,2} = J_{5,6} = 6.0$, $J_{1',2} = J_{5,6'} = 7.8$, $J_{2,3} = J_{4,6} = 5.4$, $J_{3,4} = 0$, $J_{2,4} = J_{3,5} = 1.6$ Hz.

 $C_{12}H_{20}O_4$ (228.3) Ber. C 63.13 H 8.83 Gef. C 62.96 H 8.91 2. Fraktion ($R_f = 0.56$): 310 mg (1%) 2.

1,2:3,4:5,6-Trianhydro-DL-glucitol (5): 2.5 g (22.3 mmol) 48 wurden in 30 ml Methanol gelöst und 5.0 g KHCO₃, 200 ml Acetonitril und 250 ml H₂O₂ nacheinander bei Raumtemp. zugefügt. Die Mischung wurde 3 d bei Raumtemp. gerührt, dann mit 600 ml gesättigter NaCl-Lösung versetzt und mit insgesamt 1 l Chloroform oder Dichlormethan in 5 Portionen extrahiert. Der Extrakt wurde mit Na₂SO₄ getrocknet und i. Vak. eingeengt. Der Rückstand wurde mit 100 ml Ether versetzt, die Lösung filtriert und i. Vak. eingeengt. Der Rückstand wurde an einer Säule (Kieselgel 60, Laufmittel: Ether) chromatographiert. Ausb. 1.7 g (60%) 5 als farbloser Sirup $(R_{\rm f}=0.74)$, der sich aus Ether/Hexan nur schwer kristallisieren ließ; Schmp. 35-36 °C, $[\alpha]_D^{20} = 0$ (c = 1.6 in CHCl₃). - ¹H-NMR (80 MHz in CDCl₃): $\delta = 2.83 - 3.00$ (m, 1-H bis 6-H). $- {}^{13}\text{C-NMR}$ (in C_6D_6): $\delta = 44.5$ (C-1), 49.9 (C-2), 55.1 (C-3), 54.4 (C-4), 50.0 (C-5), 43.8 (C-6). — EI-MS: m/z (%) = 128 (0), 97 (21), 85 (49), 73 (49), 71 (100), 69 (95), 57 (100), 56 (73), 55 (100).

 $C_6H_8O_3$ (128.1) Ber. C 56.24 H 6.29 Gef. C 66.13 H 6.15

3,4-Anhydro-1,2:5,6-di-O-isopropyliden-DL-glucitol (6): 2.3 g (10.1 mmol) 2^{8}) wurden entsprechend der Herstellung von 5 behandelt, jedoch wurde zur Säulenchromatographie ein Ether/Hexan-Gemisch (3:2) als Laufmittel verwendet; Ausb. 1.4 g (57%) 6 als farbloser Sirup ($R_f = 0.40$), $[\alpha]_D^{20} = 0$ (c = 1.7 in CHCl₃). - ¹H-NMR (80 MHz in CDCl₃): $\delta = 2.98$ (m, 3-H, 4-H), 3.72 – 4.24 (m, 1-H, 1'-H, 2-H, 5-H, 6-H, 6'-H), 1.38 (s) und 1.44 (s) (Isopropyliden).

C₁₂H₂₀O₅ (244.3) Ber. C 59.00 H 8.25 Gef. C 58.86 H 8.20

(E)-3,4-Dideoxy-1,2:5,6-di-O-isopropyliden-D-threo-hex-3-enitol (8) und (Z)-3,4-Dideoxy-1,2:5,6-di-O-isopropyliden-D-threo-hex-3-enitol (9): 130.0 g (0.311 mol) 7^{20} , 150.0 g NaI und 60.0 g Zinkstaub in 600 ml absol. DMF wurden entsprechend der Herstellung von 2 bzw. 3 behandelt. Aus dem eingeengten Ligroinextrakt wurden aus Ethanol/Wasser 36.0 g (52%) kristallines 8 isoliert; Schmp. $78-80^{\circ}\text{C}$, $[\alpha]_{20}^{20} = +56.1$ (c = 1.1 in CHCl₃) $\langle \text{Lit.}^{211}$: Schmp. $80-82^{\circ}\text{C}$; $[\alpha]_{20}^{20} = +57.5$ (CHCl₃) \rangle .

Aus der Mutterlauge konnten säulenchromatographisch (Kieselgel 60, Laufmittel: Ether/Hexan/Toluol 3:2:1) neben 700 mg (1%) 8

 $(R_{\rm f}=0.58)$ noch 60 mg (0.1%) 9 ($R_{\rm f}=0.65$) als Sirup isoliert werden. -9: $[\alpha]_{\rm D}^{20}=-2.9$ (c=0.4 in CHCl₃). - ¹H-NMR (80 MHz in CDCl₃): $\delta=4.15$ (dd, 1-H, 6-H), 3.58 (dd, 1'-H, 6'-H), 4.87 (m, 2-H, 5-H), 5.65 (dd, 3-H, 4-H), 1.41 (s) und 1.43 (s) (Isopropyliden); $J_{1,1'}=J_{6,6'}=8.6, J_{1,2}=J_{5,6}=6.0, J_{1',2}=J_{5,6'}=7.8, J_{2,3}=J_{4,5}=5.4, J_{3,4}=0, J_{2,4}=J_{3,5}=1.7$ Hz.

C₁₂H₂₀O₄ (228.3) Ber. C 63.13 H 8.83 Gef. C 62.94 H 8.72

1,2:3,4:5,6-Trianhydro-D-iditol (11) und 1,2:3,4:5,6-Trianhydro-D-mannitol (12): 4.0 g (35.7 mmol) 10⁸⁾ wurden entsprechend der Herstellung von 5 behandelt. Säulenchromatographie (Kieselgel 60, Laufmittel: Ether) lieferte zwei Fraktionen.

1. Fraktion ($R_f = 0.80$): 1.0 g (22%) 12 als Sirup, der aus Ether/ Hexan langsam kristallisierte; Schmp. $36-37^{\circ}$ C, $[\alpha]_D^{20} = +22.7$ (c = 1.1 in CHCl₃). - ¹H-NMR (400 MHz in CDCl₃): $\delta = 2.86$ (dd, 1-H, 6-H), 2.71 (dd, 1'-H, 6'-H), 3.01 (m, 2-H, 3-H, 4-H, 5-H); $J_{1,1'} = J_{6,6'} = 5.0$, $J_{1,2} = J_{5,6} = 2.4$, $J_{1,2} = J_{5,6'} = 3.8$ Hz. - ¹³C-NMR (in C₆D₆): $\delta = 44.1$ (C-1, C-6), 49.7 (C-2, C-5), 54.9 (C-3, C-4). - EI-MS: m/z (%) = 128 (0), 97 (5), 85 (18), 73 (15), 71 (45), 69 (65), 57 (93), 56 (27), 55 (100).

2. Fraktion ($R_f = 0.70$): 2.7 g (59%) 11 als Sirup, der aus Ether/ Hexan kristallisierte; Schmp. 51–52°C, $[\alpha]_{20}^{20} = -49.3$ (c = 0.9 in CHCl₃). - ¹H-NMR (400 MHz in C₆D₆): $\delta = 2.57$ (dd, 1-H, 6-H), 2.53 (dd, 1'-H, 6'-H), 2.75 (m, 2H, 5-H), 2.81 (d, 3-H, 4-H); $J_{1,1'} = J_{6,6'} = 5.4$, $J_{1,2} = J_{5,6} = 4.0$, $J_{1',2} = J_{5,6'} = 2.6$, $J_{2,3} = J_{4,5} = 4.4$, $J_{3,4} = 0$ Hz. - ¹³C-NMR (in C₆D₆): $\delta = 43.6$ (C-1, C-6), 49.5 (C-2, C-5), 54.0 (C-3, C-4). - EI-MS: m/z (%) = 128 (0), 97 (7), 85 (21), 73 (26), 71 (72), 69 (37), 57 (98), 56 (37), 55 (100).

C₆H₈O₃ (128.1) Ber. C 56.24 H 6.29 11: Gef. C 56.13 H 6.31 12: Gef. C 56.04 H 6.25

3,4-Anhydro-1,2:5,6-di-O-isopropyliden-D-iditol (13) und 3,4-Anhydro-1,2:5,6-di-O-isopropyliden-D-mannitol (14): 1.4 g (6.13 mmol) 8²¹⁾ wurden wie für 6 beschrieben epoxidiert, und das Reaktionsprodukt wurde entsprechend säulenchromatographisch getrennt.

1. Fraktion ($R_f = 0.48$): 201 mg (13%) 14 als Sirup mit $[\alpha]_D^{20} = +23.2$ (c = 2.1 in CHCl₃). $- ^1$ H-NMR (80 MHz in CDCl₃): $\delta = 3.72 - 4.26$ (m, 1-H, 1'-H, 2-H, 5-H, 6-H, 6'-H), 2.98 (m, 3-H, 4-H) 1.40 (s) und 1.48 (s) (Isopropyliden).

2. Fraktion ($R_f = 0.31$): 535 mg (36%) 13 mit Schmp. 63 °C, $[\alpha]_D^{20} = -6.6$ (c = 1.7 in CHCl₃). -1H-NMR (80 MHz in CDCl₃): $\delta = 3.70 - 4.24$ (m, 1-H, 1'-H, 2-H, 5-H, 6-H, 6'-H), 3.03 (d, 3-H, 4-H) 1.37 (s) und 1.42 (s) (Isopropyliden).

C₁₂H₂₀O₅ (244.3) Ber. C 59.00 H 8.25 13: Gef. C 58.76 H 8.15 14: Gef. C 58.87 H 8.23

Epoxidierung von 1,3,5-Hexatrien. — 1,2:3,4:5,6-Trianhydro meso-galactitol (17): 3.0 g (37.4 mmol) 1,3,5-Hexatrien wurden it 4 l Methanol mit 600.0 g KHCO₃, 1.0 l Acetonitril und 1.5 l H₂O 11 d bei Raumtemp. gerührt und entsprechend der Herstellung vor 5 aufgearbeitet. Der Rückstand wurde an einer Säule (Kieselgel 6C Laufmittel: Essigester/Tetrachlorkohlenstoff 1:3) chromatogra phiert, wobei drei Fraktionen isoliert wurden.

1. Fraktion ($R_f = 0.49$): 85 mg (2%) Sirup, der neben 1,2:3,4:5,6 Trianhydro-DL-mannitol (rac-12) noch weitere Substanzen, ver mutlich 1,2:3,4:5,6-Trianhydro-DL-altritol (rac-16) und 1,2:3,4:5,6 Trianhydro-meso-allitol (18) enthielt. Eine Trennung dieser Komponenten gelang nicht.

2. Fraktion ($R_f = 0.41$) 190 mg (4%) 1,2:3,4:5,6-Trianhydro-DL glucitol (rac-5).

3. Fraktion ($R_f = 0.31$): 420 mg (9%) Sirup, der 1,2:3,4:5,6-Trianhydro-DL-iditol (rac-11) und 1,2:3,4:5,6-Trianhydro-meso-galactitol (17) enthielt. Durch fraktionierende Kristallisation konnte 17 rein erhalten werden.

17: Ausb. 90 mg (2%) farblose Kristalle mit Schmp. 66 C, $[\alpha]_D^{20}$ = 0, c = 0.9 in CHCl₃). - ¹H-NMR (80 MHz in CDCl₃): $\delta =$ 2.70 - 3.30 (m, 1-H bis 6-H). $- {}^{13}\text{C-NMR}$ (in C_6D_6): $\delta = 43.8$ (C-1, C-6) 48.7 (C-2, C-5), 56.4 (C-3, C-4). – EI-MS: m/z (%) = 128 (0), 97 (6), 85 (9), 73 (15), 71 (64), 69 (27), 57 (91), 56 (19), 55 (100).

C₆H₈O₃ (128.1) Ber. C 56.24 H 6.29 Gef. C 56.11 H 6.32

3,4-Anhydro-1,6-didesoxy-1,6-diiod-p-iditol (19): 107 mg (0.84 mmol) 11, 412 mg Nal und etwas Phenolphthalein wurden in 5 ml Wasser aufgenommen. Bei 0 °C wurde so lange 1 N HCl zugetropft, bis die Farbe der Lösung gerade blaßrosa blieb. Nach 8 h wurde die Mischung mit Chloroform extrahiert, der Extrakt mit Na₂SO₄ getrocknet und zum Sirup eingeengt. Kristallisation aus Aceton/ Ether ergab 217 mg (68%) 19 als farblose Nadeln mit Schmp. 141° C, $[\alpha]_{D}^{20} = -12.7$ (c = 0.4 in Aceton). - H-NMR (80 MHz) in [D₆]Aceton): $\delta = 3.10-4.55$ (m, 1-H bis 6-H).

 $C_6H_{10}O_3I_2 \ (384.0) \quad Ber. \ C \ 18.77 \ H \ 2.63 \quad Gef. \ C \ 18.77 \ H \ 2.10$

CAS-Registry-Nummern

1: 74862-79-6 / 2: 53777-25-6 / 3: 105929-80-4 / 4: 74892-54-9 / 5: 89196-16-7 / 6: 105900-51-4 / 7: 20720-17-6 / 8: 3427-24-5 / 9: 4578-27-2 / 10: 74862-85-4 / 11: 89196-14-5 / rac-11: 105929-81-5 / 12: 89196-13-4 / 13: 53736-01-9 / 14: 53736-00-8 / 17: 105929-82-6 / 19: 105883-26-9 / 1,3,5-Hexatrien: 2235-12-3

Szentirmay, B. Kellner, Cancer Chemother, Rep., Part 1, **56** (1972) 593. — ²¹⁰ T. Kimura, L. A. Sternson, T. Higuchi, Clin. Chem. **22** (1976) 1639. — ²⁵ M. C. Perry, C. G. Moertel, A. J. Chem. 22 (1976) 16.39. — ²¹ M. C. Perry, C. G. Moertel, A. J. Schutt, R. J. Reitemeier, R. G. Hahn, Cancer Treatm. Rep. 60 (1976) 1247. — ^{2kl} E. Institóris, B. W. Fox. Chem. Biol. Interactions 22 (1978) 99. — ^{2ll} R. Delager, A. Brugarolas, H. Hansen, F. Cavalli, H. Ryssel, P. Siegenthaler, A. Clarysse, J. Renard, Y. Kenis, P. Alberto, Eur. J. Cancer 15 (1979) 971. — ^{2ml} J. Kuszmann, Carbohydr. Res. 71 (1979) 123.

^{3l} L. F. Wiggins, J. Chem. Soc. 1946, 384; L. F. Wiggins, D. J. C. Wood, J. Chem. Soc. 1950, 1566.

Wood, J. Chem. Soc. 1950, 1566.

⁴¹ L. v. Vargha, E. Kasztreiner, Chem. Ber. 92 (1959) 2506.

V. Vargna, E. Kasztreiner, Chem. Ber. 92 (1959) 2506.
 M. Jarman, W. C. J. Ross, Carbohydr. Res. 9 (1969) 139.
 W. F. Beech, J. Chem. Soc. 1951, 2483.
 Vorveröffentlichung: P. Köll, M. Oelting, J. Kopf, Angew. Chem. 96 (1984) 222; Angew. Chem., Int. Ed. Engl. 23 (1984) 242.
 J. Kuszmann, P. Sohár, Carbohydr. Res. 83 (1980) 63.
 G. B. Payne, P. H. Deming, P. H. J. Williams, J. Org. Chem. 26 (1961) 659; B. G. Payne, Tetrahedron Lett. 1962, 763.
 H. P. Kraemer (Behringwerke AG, Marburg) persönliche Mit-

10) H. P. Kraemer (Behringwerke AG, Marburg), persönliche Mit-

11) MULTAN: P. Main, M. M. Woolfson, L. Lessinger, G. Germain, J. P. Declerq, Universitäten von York, England und Louvain, Belgien, 1974 (Version 1980).

12) SHELX-76: G. Sheldrick, Universität Cambridge, England 1972

(Version 1976).

13) Die Listen der beobachteten und berechneten Strukturfaktoren sowie aller Torsionswinkel von 11 können mit Angabe der Autoren und der Zeitschrift von Lit.⁷⁾ unter der Hinterlegungsnummer CSD 50655 beim Fachinformationszentrum Energie, Physik, Mathematik, D-7514 Eggenstein-Leopoldhafen 2, angefordert werden.

¹⁴⁾ E. Keller, Chem. Unserer Zeit 14 (1980) 56.

15) P. Luger, C. Zaki, J. Buschmann, R. Rudert, Angew. Chem. 98 (1986) 254; Angew. Chem., Int. Ed. Engl. 25 (1986) 254.

16) M. Czugler, K. Simon, L. Institóris, I. Vidra, I. Csöregh, Carbohydr. Res. 108 (1982) 173.

¹⁷⁾ A. de Meijere, Angew. Chem. **91** (1979) 867; Angew. Chem. Int. Ed. Engl. **18** (1979) 809. 18) W. Littke, U. Drück, Angew. Chem. 86 (1974) 557; Angew. Chem., Int. Ed. Engl. 13 (1974) 539.

19) J. F. Stoddart, Stereochemistry of Carbohydrates, S. 93; Wiley-

Interscience, New York 1971. ²⁰⁾ J. Kuszmann, P. Sohár, Carbohydr. Res. 74 (1979) 187.

²¹⁾ R. S. Tipson, A. Cohen, Carbohydr. Res. 1 (1965) 338.

[144/86]

¹⁾ N. R. Williams, Adv. Carbohydr. Chem. Biochem. 25 (1970) 109.
2) 2a) W. C. J. Ross, J. Chem. Soc. 1950, 2257. — 2b) J. L. Everett,
G. A. R. Kon, J. Chem. Soc. 1950, 3131. — 2c) L. Vargha, L.
Taldi. E. Kaatteiner. Acta Chim. (Pudanath 10 (1959) 205. — Toldy, E. Kasztreiner, Acta Chim. (Budapest) 19 (1959) 295. — 2d) L. A. Elson, M. Jarman, W. C. J. Ross, Eur. J. Cancer 4 (1968) 617. — 2e) L. Vargha, J. Kuszmann, Carbohydr. Res. 8 (1968) 157. — 2h L. Institóris, L. Néméth, S. Somfai, F. Gál, I. Hercsei, S. Zaka, B. Kellner, Neoplasma 17 (1970) 15. — 2h L. Néméth, L. Institóris, S. Somfai, F. Gál, I. Pálvit, J. Sugár, O. Carles, 7. L. Institóris, S. Somfai, F. Gál, I. Pályi, J. Sugár, O. Csuka, Z.